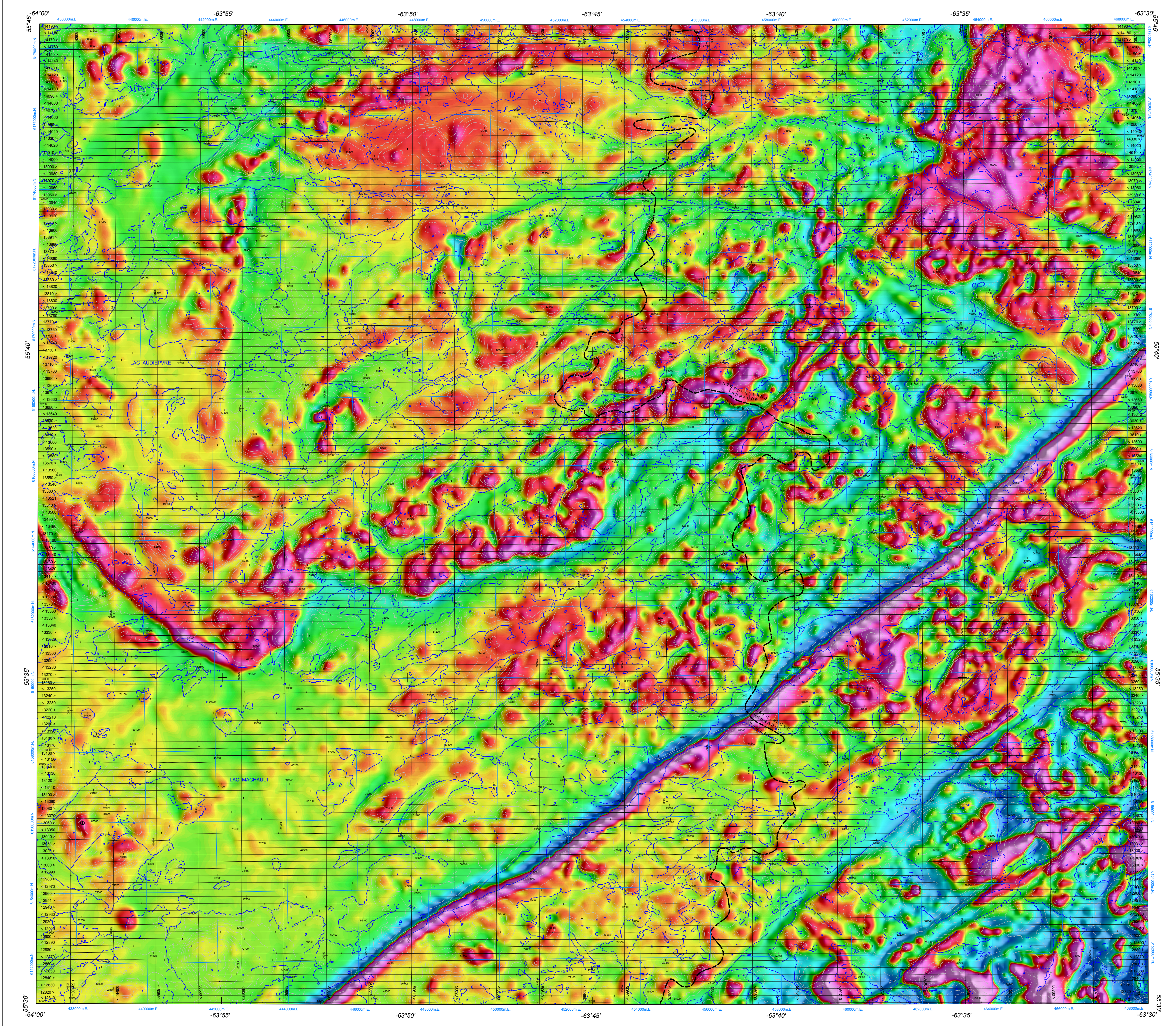


DÉRIVÉE PREMIÈRE VERTICALE DU CHAMP MAGNÉTIQUE / **FIRST VERTICAL DERIVATIVE OF THE MAGNETIC FIELD**



Dérivée première verticale du champ magnétique

Cette carte de la dérivée première verticale du champ magnétique a été compilée à partir de données acquises lors d'un levé aéromagnétique effectué par Geo Data Solutions GDS Inc. and Geoscience International pendant la période du 16 février au 16 avril 2012. Les données ont été recueillies au moyen d'un magnétomètre à vapeur de césium à faisceau partagé (consistant de 300 m) installé dans la poutre de queue de chacun de trois avions Piper Navajo. Les données ont été corrigées par un processus de contrôle de qualité de 1 200 m. L'aérien volait à une hauteur de 120 m au-dessus du sol. Les lignes de vol étaient espacées de 200 m, perpendiculairement aux lignes de contrôle. La trajectoire de vol a été restituée par l'application après le vol de corrections différentielles aux données brutes du système GPS et par inspection d'images du sol enregistrées au moyen d'une caméra vidéo installée à l'avant. Le levé a été effectué sur une surface de vol pré-déterminée afin de minimiser les différences des valeurs du champ magnétique aux intersections des lignes de contrôle et des lignes de vol. Ces différences ont été analysées par ordinateur afin d'établir un jeu de données révisées sur le champ magnétique le long de la ligne de vol. Ces valeurs révisées ont ensuite été interpolées à un quadrillage à maille de 50 m, puis le champ géomagnétique international de référence (IGRF) défini à l'antériorité pour l'année 2012.202 a été soustrait. La soustraction de l'IGRF, qui représente le champ magnétique du noyau terrestre, fournit une composante résiduelle essentiellement liée à l'amplitude de la croûte terrestre.

La dérivée première verticale du champ magnétique représente le taux auquel varie le champ magnétique suivant la verticale. Le calcul de la dérivée première verticale supprime les composantes de grande longueur d'onde du champ magnétique et améliore considérablement la résolution des anomalies rapprochées ou superposées. Une des propriétés des cartes de la dérivée première verticale est la coïncidence de la courbe de valeur zéro et des contacts verticaux aux hautes latitudes magnétiques (Hood, 1965).

Coefficients de corrélation Keating

Cette technique de reconnaissance de forme (Keating, 1965) pour l'identification d'anomalies plus ou moins circulaires a été utilisée pour le coefficient de corrélation dans une fenêtre mobile entre le modèle d'une anomalie d'un diamètre vertical et les données géophysiques de la grille. Les résultats qui ont un coefficient de corrélation supérieur à un seuil de 90% sont montrés sous forme de contours et d'annotations reflétant leur valeur de corrélation. Les cibles les plus favorables sont celles qui présentent des groupements de coefficients de corrélation élevés. Les paramètres du modèle du cylindre sont les suivants pour ce levé : diamètre 200 m; longueur infinie; profondeur: 120 m; inclination magnétique: 76°N; déclinaison magnétique: 23°W; fenêtre: 1000 m x 1000 m.

On peut télécharger gratuitement des versions numériques de cette carte depuis la section «MIRAGE» de l'Entrepôt de données géoscientifiques de Ressources naturelles Canada à l'adresse Web <http://data.mirage.ca/mirage/>. Les données numériques correspondantes en formats profil et maille, ainsi que des données similaires issues des levés géophysiques aéroportés adjacents, sont disponibles depuis la section «Données aéromagnétiques» de l'Entrepôt de données géoscientifiques de Ressources naturelles Canada à l'adresse Web <http://data.geoscience.ca/geoscience/>. On peut se procurer les mêmes produits, moyennant des frais, en s'adressant au Centre des données géophysiques de la Commission géologique du Canada, 615, rue Booth, Ottawa (Ontario) K1A 0E9. Tél. (613) 995-5326, courriel: info@gs.ccg.ca.

On peut aussi obtenir cette carte et les données géophysiques numériques correspondantes à partir de la section «Produits et services en ligne» du site Web du ministre des Ressources naturelles et de la Faune du Québec, à l'adresse <http://www.mrf.nrcan.gc.ca/produits-et-services/index.jsp>.

On peut télécharger gratuitement une version numérique de cette carte à partir du site Web du ministre des Ressources naturelles de Terre-Neuve-et-Labrador, à la page des dossiers publics http://www.gov.nf.ca/content/communique/publication/inflet_pubs_fr.html ou à la page de Geoscience Online (<http://gs.geoscan.gov.nl.ca/>).

First Vertical Derivative of the Magnetic Field

This map of the first vertical derivative of the magnetic field was compiled from data acquired during an aeromagnetic survey carried out by Geo Data Solutions GDS Inc. and Geoscience International during the period from February 16 to April 16, 2012. The data were recorded using a split-beam cesium vapour magnetometer (consisting of 300 m) mounted in the tail boom of each of three Piper Navajo aircraft. The normal traverse and control line spacing were respectively 200 m and 1 200 m. The aircraft flew at a nominal terrain clearance of 80 m. Traverse lines were oriented E-W with orthogonal control lines. The flight path was recovered following post-flight differential corrections to the raw Global Positioning System data and inspection of ground images recorded by a vertically-mounted video camera. The survey was flown on a pre-determined flight surface to minimize differences in magnetic values at the intersections of control and traverse lines. These differences were computer analysed to obtain a mutually levelled set of flight-line magnetic data. The levelled values were then imposed to a 50 m grid. The International Geomagnetic Reference Field (IGRF) defined at an altitude of 616 m for the year 2012.202 was then removed. Removal of the IGRF, representing the magnetic field of the Earth's core, produces a residual component related essentially to the magnetizations within the Earth's crust.

The first vertical derivative of the magnetic field is the rate of change of the magnetic field in the vertical direction. Computation of the first vertical derivative removes long-wavelength features of the magnetic field and significantly improves the resolution of closely spaced and superposed anomalies. A property of first vertical derivative maps is the coincidence of the zero-value contour with vertical contacts at high magnetic latitudes (Hood, 1965).

Keating Correlation Coefficients

This pattern recognition technique (Keating, 1965) for identifying roughly circular anomalies consists of computing the correlation coefficient, over a moving window, between a vertical cylinder model anomaly and the gridded magnetic data. Results above a correlation coefficient threshold of 90% were depicted as circular symbols, scaled to reflect the correlation values. The most favourable targets are those that exhibit a cluster of high correlation coefficients. The cylinder model parameters for this survey are as follows: diameter: 200 m; infinite length; depth: 120 m; magnetic inclination: 76°N; magnetic declination: 23°W; window size: 1000 m x 1000 m.

Digital versions of this map can be downloaded, at no charge, from Natural Resources Canada's Geoscience Data Repository (MIRAGE) at <http://data.mirage.ca/mirage/>. Corresponding digital profile and gridded data as well as similar data for adjacent aeromagnetic surveys are available from Natural Resources Canada's Geoscience Data Repository at <http://data.geoscience.ca/geoscience/>. The same products are also available, for a fee, from the Geophysical Data Centre, Geological Survey of Canada, 615 Booth Street, Ottawa, Ontario K1A 0E9. Telephone: (613) 995-5326, email: info@gs.ccg.ca.

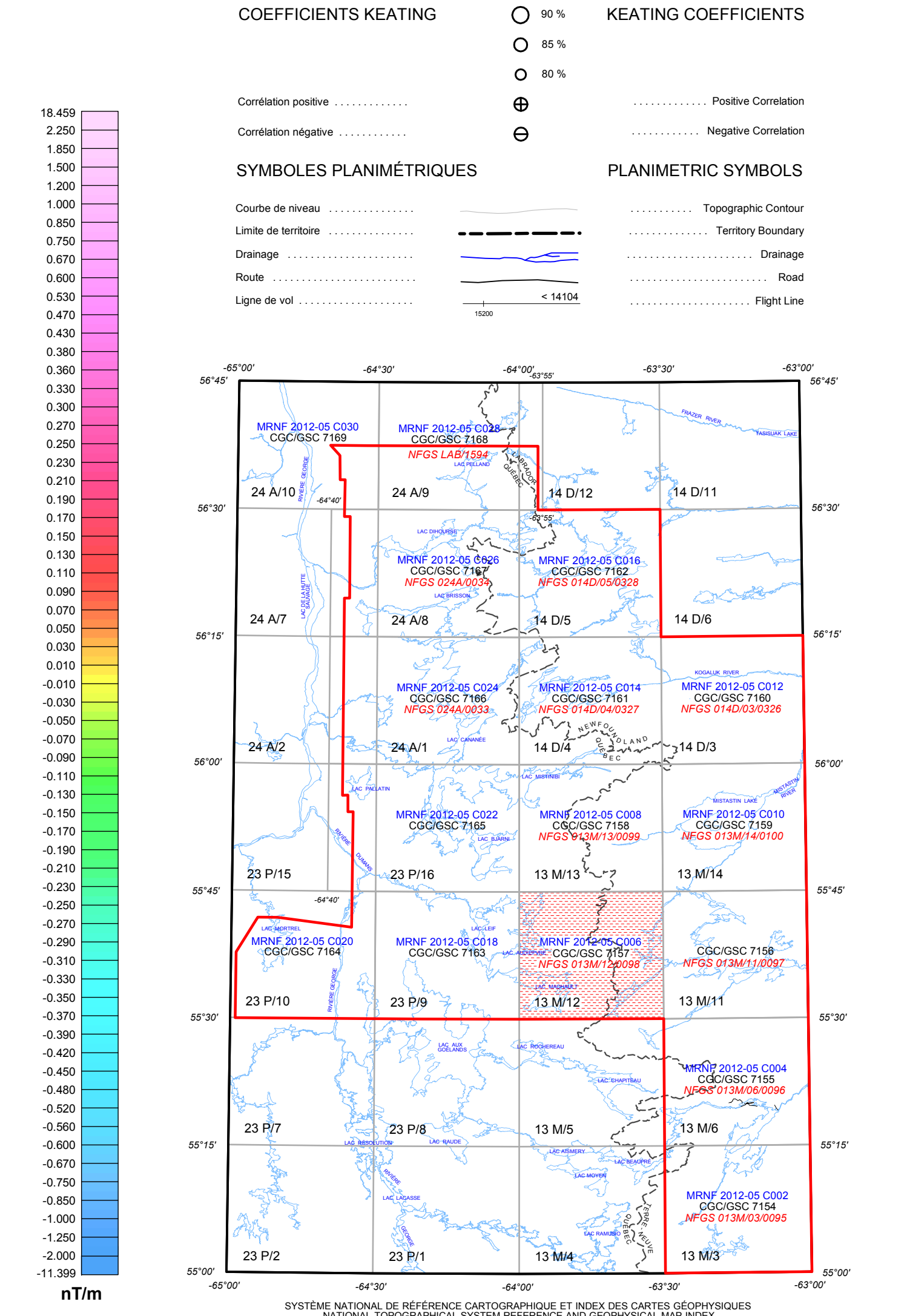
This map and the corresponding digital geophysical data may also be obtained from the Ministère des Ressources naturelles et de la Faune du Québec. Web site's "Online Products and Services" page at <http://www.mrf.nrcan.gc.ca/produits-et-services/index.jsp>.

A digital version of this map can also be downloaded, at no charge, from the Web site of the Department of Natural Resources, Newfoundland and Labrador, either on its Open File page at http://www.gov.nf.ca/content/communique/publication/inflet_pubs_fr.html or on Geoscience Online (<http://gs.geoscan.gov.nl.ca/>).

References / Références

Hood, P. J., 1965, Gradient measurements in aeromagnetic surveying. *Geophysics*, v. 30, p. 891-902.

Keating, P., 1965, A simple technique to identify magnetic anomalies due to kimberlite pipes. *Exploration and mining geology*, v. 4, no. 2, p. 121-125.



LEVÉ AÉROMAGNÉTIQUE DE LA RÉGION DU BATHOLITE DE MISTASTIN
AEROMAGNETIC SURVEY MISTASTIN BATHOLITH

DOSSIER PUBLIC 7157
COMMISSION GÉOLOGIQUE DU CANADA / GEOLOGICAL SURVEY OF CANADA
2012
FEUILLET 2 OF 2

Les publications de cette série ne sont pas révisées; elles sont publiées telles qu'elles sont soumises par l'auteur.
Publications in this series have not been edited; they are released as submitted by the author.

Ministère des Ressources naturelles et de la Faune du Québec
DP 2012-05 C006

Newfoundland and Labrador Department of Natural Resources, Geological Survey Open File
013M12/0098

Notation bibliographique conseillée:
Dumont, R. et Jones, A., 2012, Levé aéromagnétique de la région du Batholithe de Mistastin. SNRC 13 M12, Québec et Terre-Neuve-et-Labrador; Commission géologique du Canada, Dossier public 7157; Ministère des Ressources naturelles et de la Faune du Québec, DP 2012-05 C006; Newfoundland and Labrador Department of Natural Resources, Geological Survey, Open File 013M12/0098, échelle 1/50 000.

Recommended citation:
Dumont, R. and Jones, A., 2012, Aeromagnetic Survey Mistastin Batholith, NTS 13 M12, Québec and Newfoundland and Labrador; Geological Survey of Canada, Open File 7157; Ministère des Ressources naturelles et de la Faune du Québec, DP 2012-05 C006; Newfoundland and Labrador Department of Natural Resources, Geological Survey, Open File 013M12/0098, scale 1/50 000.

Ce levé aéromagnétique et la production de cette carte ont été financés conjointement par le programme «Coopération de l'énergie et des minéraux (CEM) et la quatrième phase de l'Initiative géoscientifique ciblée (IGC-4)», qui sont des programmes du Secteur des sciences de la Terre, Ressources naturelles Canada.
 This aeromagnetic survey and the production of this map were jointly funded by the Geo-mapping for Energy and Minerals (GEM) program and the fourth phase of the Targeted Geoscience Initiative (TGI-4), which are programs of the Earth Sciences Sector, Natural Resources Canada.

DOSSIER PUBLIC 7157 DE LA CGC / GSC OPEN FILE 7157
 MINISTÈRE DES RESSOURCES NATURELLES ET DE LA FAUNE DU QUÉBEC, DP 2012-05 C006
 NEWFOUNDLAND AND LABRADOR DEPARTMENT OF NATURAL RESOURCES, GEOLOGICAL SURVEY OPEN FILE 013M12/0098

LEVÉ AÉROMAGNÉTIQUE DE LA RÉGION DU BATHOLITE DE MISTASTIN
AEROMAGNETIC SURVEY MISTASTIN BATHOLITH

SNRC 13 M12 / NTS 13 M12
QUÉBEC ET TERRE-NEUVE-ET-LABRADOR / QUÉBEC AND NEWFOUNDLAND AND LABRADOR

DÉRIVÉE PREMIÈRE VERTICALE DU CHAMP MAGNÉTIQUE
FIRST VERTICAL DERIVATIVE OF THE MAGNETIC FIELD

Échelle 1/50 000 - Scale 1: 50 000

Auteurs : R. Dumont et A. Jones
 Acquisition et compilation des données et production des cartes par Geo Data Solutions GDS Inc., Lével, Québec
 Gestion et supervision du projet par la Commission géologique du Canada, Ottawa (Ontario)

Auteurs : R. Dumont et A. Jones
 Data acquisition and compilation and map production by Geo Data Solutions GDS Inc., Lével, Québec
 Contract and project management by the Geological Survey of Canada, Ottawa, Ontario

Projections: Transverse Mercator Projection / Système de référence géodésique nord-américain, 1983
 Universal Transverse Mercator Projection / North American Datum 1983
 © Sa Majesté le Reine du chef du Canada 2012 / © Her Majesty the Queen in Right of Canada 2012

Données topographiques numériques de Géobase/Canada, Ressources naturelles Canada
 Digital Topographic Data provided by Geobase/Canada, Natural Resources Canada

LOCALISATION DE LA CARTE - MAP LOCATION
 SOMMAIRE DES FEUILLETS / MAP SHEET SUMMARY
 Feuille / Sheet: 7157, 2 OF 2
 CARTE / MAP: 1. Composante résiduelle du champ magnétique total / Residual Total Magnetic Field; 2. Dérivée première verticale du champ magnétique / First Vertical Derivative of the Magnetic Field